

# 跨音速空气动力学

(速度图理论)

南京航空学院

一九八〇年九月

V211  
1050-2

# 目 录

第一章 基本方程及速度变换	2
§1-1. 基本方程	2
§1-2. 速度变换	4
§1-3 跨音速流动的近似处理	6
§1-4 物理平凸和速度凸之间的对应.	13
§1-5 速度凸平凸与物理平凸之间变换时遇到的奇性.	19
第二章 混合型方程的数学基础	31
§2-1 引言	31
§2-2 混合型方程的几种边值问题	33
§2-3 双曲半平凸内的 Tricomi 方程	34
§2-4 楔形半平凸内的 Tricomi 方程	37
§2-5 Tricomi 方程的 Tricomi 问题	43
第三章 喷流问题	47
§3-1 Tricomi 方程的特解.	47
§3-2 跨音速喷流问题.	53
§3-3 喷流喉道问题的近似解	55
第四章 翼型问题	59
§4-1 严格气动方程的一些特解	59
§4-2 用速度凸法求解可压缩流.	62
§4-3 无升力的准楔形翼型绕流	64
§4-4 无升力的准椭圆翼型绕流.	69
§4-5 有环量圆柱体绕流.	74
§4-6 有环量的准椭圆翼型绕流.	85



30895178

V211  
1050-2

# 目 录

第一章 基本方程及速度变换	2
§1-1. 基本方程	2
§1-2. 速度变换	4
§1-3 跨音速流动的近似处理	6
§1-4 物理平凸和速度凸之间的对应.	13
§1-5 速度凸平凸与物理平凸之间变换时遇到的奇性.	19
第二章 混合型方程的数学基础	31
§2-1 引言	31
§2-2 混合型方程的几种边值问题	33
§2-3 双曲半平凸内的 Tricomi 方程	34
§2-4 楔形半平凸内的 Tricomi 方程	37
§2-5 Tricomi 方程的 Tricomi 问题	43
第三章 喷流问题	47
§3-1 Tricomi 方程的特解.	47
§3-2 跨音速喷流问题.	53
§3-3 喷流喉道问题的近似解	55
第四章 翼型问题	59
§4-1 严格气动方程的一些特解	59
§4-2 用速度凸法求解可压缩流.	62
§4-3 无升力的准楔形翼型绕流	64
§4-4 无升力的准椭圆翼型绕流.	69
§4-5 有环量圆柱体绕流.	74
§4-6 有环量的准椭圆翼型绕流.	85



30895178

# 第一章 基本方程及速度变换

## §1-1 基本方程

我们研究理想完全气体的定常运动，略去重力，在二元情况下，它满足如下方程组：

$$\frac{\partial}{\partial x} (\rho u) + \frac{\partial}{\partial y} (\rho v) = 0 \quad (1-1-1)$$

$$\left. \begin{aligned} u \frac{\partial \rho}{\partial x} + v \frac{\partial \rho}{\partial y} &= - \frac{1}{g} \frac{dp}{\rho} \\ u \frac{\partial \rho}{\partial x} + v \frac{\partial \rho}{\partial y} &= - \frac{1}{g} \frac{dp}{\rho} \end{aligned} \right\} \quad (1-1-2)$$

$$p = p(s) \quad (1-1-3)$$

$$p = p(s) \quad (1-1-4)$$

式中  $s$  为气体密度， $p$  为压强， $(u, v)$  为速度， $(x, y)$  为直角坐标。感兴趣的是所谓势流一类，它满足条件

$$\frac{\partial u}{\partial y} = \frac{\partial v}{\partial x} \quad (1-1-5)$$

利用此式可以求得运动方程 (1-1-2) 和 (1-1-3) 的一个积分

$$\frac{1}{2} (u^2 + v^2) + \int \frac{dp}{\rho} = \text{const} \quad (1-1-6)$$

此即所谓 Bernoulli 关系式。

利用 (1-1-5) 和 (1-1-6) 代替运动方程 (1-1-2) 和 (1-1-3)，即可得到如下等价方程组

$$\left. \begin{aligned} \frac{\partial}{\partial x} (\rho u) + \frac{\partial}{\partial y} (\rho v) &= 0 \\ \frac{\partial u}{\partial y} &= \frac{\partial v}{\partial x} \end{aligned} \right\} \quad (1-1-1)$$

$$\frac{1}{2} (u^2 + v^2) + \int \frac{dp}{\rho} = \text{const} \quad (1-1-6)$$

$$p = p(s) \quad (1-1-4)$$

记

$$S^2 = u^2 + v^2$$

(1-1-6) 可知

$$\varphi = \varphi(\xi)$$

(1-1-6a)

$$\begin{cases} \frac{\partial}{\partial x} (\varphi u) + \frac{\partial}{\partial y} (\varphi v) = 0 \\ \frac{\partial u}{\partial \xi} = \frac{\partial v}{\partial \xi} \end{cases}$$

(1-1-1)

(1-1-5)

实际上是由两个未知数的方程组，为方便，我们导出一些关系式如下，由(1-1-6)的微分形式

$$\varphi \alpha \varphi + \frac{dp}{\varphi} = 0$$

并定义音速

$$a^2 = \frac{dp}{d\varphi}$$

代入上式，得

$$\varphi \alpha \varphi + \frac{a^2}{\varphi} d\varphi = 0$$

由此

$$\frac{d\varphi}{\varphi} = -\frac{\varphi \alpha}{a^2}$$

于是

$$M^2 = \frac{q^2}{a^2} = -\frac{\varphi}{a^2} \frac{d\varphi}{\varphi}$$

下面我们就来继续推导方程组，由(1-1-5)，得

$$\begin{cases} u = \frac{\partial \varphi}{\partial x} \\ v = \frac{\partial \varphi}{\partial y} \end{cases}$$

(1-1-10a)

(1-1-10b)

式中  $\varphi$  为势函数。代入(1-1-1)得

$$S_x u + S_y v + S \varphi_{xx} + S \varphi_{yy} = 0.$$

由(1-1-6a)

$$\begin{cases} p_x = \frac{\partial p}{\partial \varphi} q_x = -\frac{p}{a^2} (u u_x + v v_x), \\ p_y = \frac{\partial p}{\partial \varphi} q_y = -\frac{p}{a^2} (u u_y + v v_y). \end{cases}$$

·4·

代入上式，消去 $\varphi$ 并整理之，即得

$$(1 - \frac{u^2}{a^2}) \varphi_{xx} - 2 \frac{u}{a} \frac{v}{a} \varphi_{xy} + (1 - \frac{v^2}{a^2}) \varphi_{yy} = 0 \quad (1-1-11)$$

式中

$$a^2 = \frac{dp}{ds} = a^2(s) = a^2(s(\varphi)) = f(\varphi_x^2 + \varphi_y^2)$$

可見 (1-1-11) 是一介中的方程。为了侦察其类型，作判别式

$$\Delta = (1 - \frac{u^2}{a^2})(1 - \frac{v^2}{a^2}) - \frac{u^2 v^2}{a^4} = 1 - M^2$$

由此可见，当  $M > 1$ ，即超音速时，方程为双曲线型。

当  $M < 1$ ，即亚音速时，方程为椭圆型。

而在既有超音速又有亚音速气流的区域内，方程为混合型。同时还由于方程的类型依赖于解的性质，所以直接研究方程 (1-1-11) 就很困难。幸运的是，方程组 (1-1-1), (1-1-5) 是可化约系统，它可以利用速度叠加的方法而化为线性。下节我们就来进行这一工作。

## §1-2 速度叠加变换

由 (1-1-10)

$$d\varphi = u dx + v dy \quad (1-2-1)$$

由 (1-1-1)，可引进流函数  $\psi$

$$\left\{ \begin{array}{l} \frac{\partial \psi}{\partial y} = \frac{s}{s^*} u, \\ \frac{\partial \psi}{\partial x} = -\frac{s}{s^*} v. \end{array} \right. \quad (1-2-2a)$$

$$\left\{ \begin{array}{l} \frac{\partial \psi}{\partial y} = \frac{s}{s^*} v, \\ \frac{\partial \psi}{\partial x} = -\frac{s}{s^*} u. \end{array} \right. \quad (1-2-2b)$$

于是

$$d\varphi = -\frac{s}{s^*} v dx + \frac{s}{s^*} u dy. \quad (1-2-2c)$$

式中  $s^*$  是临界密度

这样一来，(1-2-1) 和 (1-2-2) 就代替了原来的方程组。

顺便指出，与 (1-1-11) 相类似地可求得  $\psi$  所满足的方程，它是

$$(1 - \frac{u^2}{a^2}) \frac{\partial^2 \psi}{\partial x^2} - \frac{2uv}{a^2} \frac{\partial^2 \psi}{\partial x \partial y} + (1 - \frac{v^2}{a^2}) \frac{\partial^2 \psi}{\partial y^2} = 0 \quad (1-2-3)$$

在  $(u, v)$  平面上引进极坐标  $(\varrho, \phi)$ , 即

$$\begin{cases} u = \varrho \cos \phi \\ v = \varrho \sin \phi \end{cases} \quad (1-2-4a)$$

$$\begin{cases} u = \varrho \cos \phi \\ v = \varrho \sin \phi \end{cases} \quad (1-2-4b)$$

于是

$$d\varphi = \varrho (\cos \phi dx + \sin \phi dy), \quad (1-2-5)$$

$$d\psi = \frac{\varrho}{\varrho^*} \varrho (-\sin \phi dx + \cos \phi dy) \quad (1-2-6)$$

由此解得

$$dx = \frac{1}{\varrho \varrho} (\varrho \cos \phi d\varphi - \varrho^* \sin \phi d\psi) \quad (1-2-7)$$

$$dy = \frac{1}{\varrho \varrho} (\varrho \sin \phi d\varphi + \varrho^* \cos \phi d\psi) \quad (1-2-8)$$

所以

$$dx + i dy = \frac{e^{i\phi}}{\varrho} (d\varphi + \frac{i\varrho^*}{\varrho} d\psi) \quad (1-2-9)$$

上式左边是全微分, 故右边也必须是, 于是有

$$\left( \frac{e^{i\phi}}{\varrho} \right)_\psi = \left( \frac{i\varrho^* e^{i\phi}}{\varrho \varrho} \right)_\varphi$$

微分后并消去  $e^{i\phi}$ , 再分开虚部和实部, 得

$$\varrho_\psi = \frac{\varrho^* \varrho}{\varrho} \varphi_\varphi \quad (1-2-10)$$

$$\varphi_\psi = -\frac{\varrho^*}{\varrho \varrho} (1 - M^2) \varrho_\varphi \quad (1-2-11)$$

这是一个拟线性方程组, 应用速度差方法, 即得

$$\begin{cases} \varphi_0 = \frac{\varrho^* \varrho}{\varrho} \varphi_\varphi \\ \varphi_\varphi = -\frac{\varrho^*}{\varrho \varrho} (1 - M^2) \varphi_0 \end{cases} \quad (1-2-12)$$

$$\begin{cases} \varphi_0 = \frac{\varrho^* \varrho}{\varrho} \varphi_\varphi \\ \varphi_\varphi = -\frac{\varrho^*}{\varrho \varrho} (1 - M^2) \varphi_0 \end{cases} \quad (1-2-13)$$

这就是著名的速度差平面上的 Чаплыгин 线性方程组。

如果按通常的方法消去  $\varphi$ , 即得 Чаплыгин 方程,

$$\varrho^2 \varphi_{\varphi\varphi} + (1 + M^2) \varrho \varphi_\varphi + (1 - M^2) \varphi_{00} = 0 \quad (1-2-14)$$

引进自变量

$$\tau = \int_{\varrho^*}^{\varrho} \frac{\varrho}{\varrho^*} \frac{d\varrho^*}{\varrho^*} \quad (1-2-15)$$

·6·

式中  $g^* = g/a^*$ , 而  $a^*$  为临界音速。

在此变换下, (1-2-12) 和 (1-2-13) 变为

$$\begin{cases} \psi_0 = -\psi_\sigma \\ \psi_\sigma = K(\sigma) \psi_0 \end{cases} \quad (1-2-16)$$

$$K(\sigma) = (g^*/s)^2 (1-M^2) \quad (1-2-17)$$

式中

$$K(\sigma) = (g^*/s)^2 (1-M^2) \quad (1-2-18)$$

由(1-2-16) 和 (1-2-17) 消去  $\psi$ , 即得

$$K(\sigma) \psi_{00} + \psi_{0\sigma} = 0 \quad (1-2-19)$$

这就是 Чаплыгин 方程。

显然, 在超音速时  $\sigma > 0$ ,  $K < 0$ . 方程为双曲型, 在亚音速时  $\sigma < 0$ ,  $K > 0$ . 方程为椭圆型, 而在混合型气流中, 方程为混合型。直接对它进行讨论非常复杂, 因此必须进行简化。

最后指出, 由 (1-2-7), (1-2-8) 和 (1-2-12), (1-2-13) 可求出变换的 Jacobian 是

$$J = \frac{\partial(x, y)}{\partial(g, \theta)} = -\frac{g^{*2}}{g^2 s} \left[ \psi_0^2 - \left( \frac{1}{a^2} - \frac{1}{g^2} \right) \psi_\sigma^2 \right] \quad (1-2-20)$$

### §1-3 跨音速流动的近似处理

#### (一) 方程的简化

(1) Tricomi 方程: 在跨音速附近,  $\sigma$  是小量, 故

$$K(\sigma) \approx K(0) + K'(0) \sigma + \dots \approx K'(0) \sigma. \quad (1-3-1)$$

于是 Чаплыгин 方程变为

$$K'(0) \sigma \psi_{00} + \psi_{0\sigma} = 0 \quad (1-3-2)$$

上令

$$s = [K'(0)]^{1/3} \sigma \quad (1-3-3)$$

即得

$$s \psi_{00} + \psi_{ss} = 0 \quad (1-3-4)$$

这就是著名的 Tricomi 方程。

(2) Tricomi 方程的推广:

严格的方程 (1-2-19) 由于  $K(\sigma)$  太复杂而不易讨论，其简化形式 TYiwmii 方程 (1-3-4) 只能在  $M=1$  附近给出近似的结果。现在我们给出 TYicomii 方程的一种推广，它可以大大提高适用的范围而又不致引起数学上的实质性困难。

例如，考虑如下  $\psi(s, \theta)$  和  $\varphi(s, \theta)$  的微分方程组

$$\begin{cases} \tau \psi_s = -\frac{1}{\tau} \varphi_\theta \\ \frac{1}{\tau} \varphi_s = s \tau \psi_\theta \end{cases} \quad (1-3-5)$$

式中  $\tau$  是  $s$  的未定函数

作因变量变换

$$\begin{cases} \psi_1 = \tau \psi \\ \psi_{1,s} = -\frac{1}{\tau} \varphi_s \\ \psi_{1,\theta} = -\frac{1}{\tau} \varphi_\theta + \frac{d\tau}{ds} \psi \end{cases} \quad (1-3-6)$$

为了使这一变换和方程 (1-3-5) 中函数之间的关系相容，必须有  $\frac{d^2\tau}{ds^2} = 0$ ，或即  $\tau = Cs + b$ ，这里  $C$  和  $b$  是常数。

将变换代入方程 (1-3-5) 即得

$$\begin{cases} \psi_{1,s} = \psi_{1,\theta} \\ \psi_{1,s} = -s \psi_{1,\theta} \end{cases} \quad (1-3-7)$$

消去  $\psi_1$ ，即得 TYiwmii 方程

$$s \psi_{1,\theta\theta} + \psi_{1,ss} = 0, \quad (1-3-8)$$

引进一个新的变量

$$\sigma = \int_0^s \frac{ds}{\tau^2} = \int_0^s \frac{ds}{(Cs+b)^2} = \frac{s}{b(cs+b)} \quad (1-3-9)$$

以  $\sigma$  代替  $s$ ，则方程 (1-3-5) 变为

$$\psi_{\sigma\sigma} + K_a(\sigma) \psi_{\sigma\theta} = 0 \quad (1-3-10)$$

式中

$$K_a(\sigma) = \frac{b^6 \sigma}{(1 - b\sigma)^5} \quad (1-3-11)$$

这一结果是由 Loewner 和 Germain, Fenain 等人得来的。  
 $\psi_{\alpha}$  的系数可以看为  $K(\sigma)$  的一个近似，它比线性近似的好处是，可以使由  $K_a(\sigma)$  表示的曲线与  $K(\sigma)$  的真实曲线在  $\sigma=0$  处不但相切，而且曲率相等。利用这些条件，可得

$$K_a(\sigma) = \frac{2.40\sigma}{(1+0.780\sigma)^5} \quad (1-3-12)$$

这一近似压缩性函数，见图 1-3-1，同一图上还画出了真实曲线  $K(\sigma)$  及其线性近似。

本方法说明为了能够将严格的流动方程化为简单的 Tricomi 方程，限制近似的压缩性函数是  $\sigma$  的线性函数是不必要的。

## (二) 对于压缩性函数近似的等熵替换：

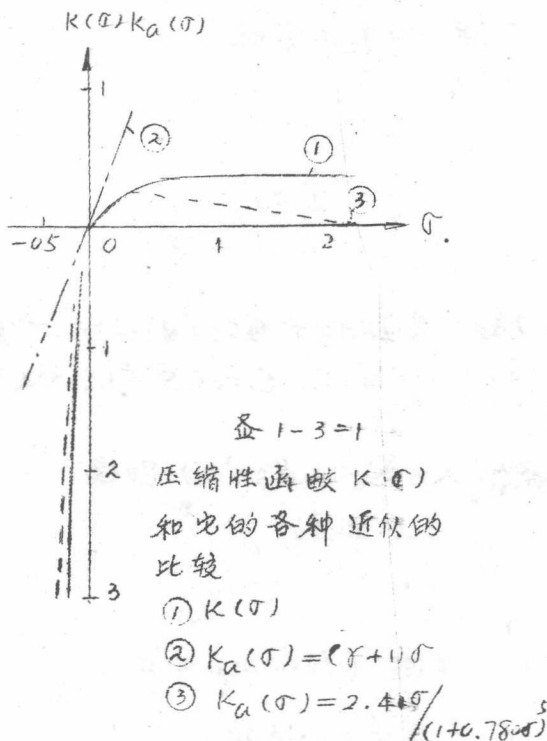
上面我们已用近似的压缩性函数  $K_a(\sigma)$  来代替真实的压缩性函数  $K(\sigma)$ ，使方程化到了 Tricomi 方程。现在我们要问是哪一种气体对应于这一类方程呢？显然，这一类气体具有的物理性质将不同于真实气体，特别，可以期望新的假想气体将有一种不同于真实气体的等熵关系。

为了得到确定的决定密度作为压强函数的代数公式，首先设

$$f(\sigma) = \frac{1}{q^*} \quad (1-3-13)$$

用近似的  $K_a(\sigma)$  来代替真实的  $K(\sigma)$  后，由方程 (1-2-15) 和 (1-2-18) 得到

$$f(\sigma) = \frac{1}{q^*} - \frac{\sigma^*}{\sigma}$$



$$\ddot{f}(\sigma) = \frac{1}{\dot{\sigma}^*} \left( \frac{\dot{\sigma}^*}{\dot{\sigma}} \right)^2 (1 - M^2) = f(\sigma) K_a(\sigma)$$

结果，问题变为求解如下形式的二阶常微分方程

$$\ddot{f}(\sigma) = K_a(\sigma) f(\sigma) \quad (1-3-14)$$

它具有声速条件作为一参考点，即要求

$$f(0) = 1 \quad (1-3-15)$$

和

$$\dot{f}(0) = 1$$

在此方法中， $\dot{\sigma}^*$  被决定为假想气体的  $\sigma$  的一个函数，此假想气体具有一近似的压缩性函数  $K_a(\sigma)$ 。

进而，由于

$$\frac{\dot{\sigma}^*}{\dot{\sigma}} = \frac{\dot{f}(\sigma)}{f(\sigma)} \quad (1-3-16)$$

又由于通过求解方程 (1-3-14)，假定已经知道了  $f(\sigma)$ ，故密度比也可得到为  $\sigma$  的一个函数，从而也可得到为  $\dot{\sigma}^*$  的一个函数。然而，由于压强函数和  $M$  函数分别由如下公式给出

$$\frac{p - p^*}{\dot{\sigma}^{*2} a^{*2}} = \int_{\dot{\sigma}^*}^1 \frac{\dot{\sigma}}{\dot{\sigma}^*} \dot{\sigma}^* d\dot{\sigma}^* \quad (1-3-17)$$

和

$$M^2 = 1 - K_a(\sigma) \left( \frac{\dot{\sigma}^*}{\dot{\sigma}} \right)^{-2} \quad (1-3-18)$$

简直没有任何困难，即可得到压强比  $\frac{p}{p^*}$  和密度比  $\frac{\dot{\sigma}}{\dot{\sigma}^*}$  之间的关系，另一方面也可得到局部  $M$  数  $M$  和速度参数  $\sigma$  之间的关系。

(1) 对于 TAYLOR 近似的线性形式情况，

$f(\sigma)$  的微分方程是

$$\ddot{f}(\sigma) - (\gamma + 1) \dot{f}(\sigma) = 0$$

或使用前者的代换

$$\tilde{\sigma}_1 = (\gamma + 1)^{1/3} \sigma$$

即得

$$\tilde{f}(0_1) - \tilde{f}'(0_1) = 0$$

解可以简单地按照士  $\frac{1}{3}$  阶的圆柱 Bessel 函数  $I_{\pm\frac{1}{3}}$  和具有士  $\frac{1}{3}$  阶的纯虚变易的 Bessel 函数  $I_{\pm\frac{1}{3}}$  得到。当利用方程 (1-3-15) 的条件时，结果是

$$\begin{aligned} \frac{1}{q^*} = f &= (\sigma_1)^{\frac{1}{2}} \left[ 3^{-\frac{1}{2}} \Gamma(\frac{2}{3}) I_{-\frac{1}{3}} \left( \frac{2}{3} \sigma_1^{3/2} \right) + \right. \\ &\quad \left. + 3^{-\frac{2}{3}} \Gamma(\frac{1}{3}) S I_{\frac{1}{3}} \left( \frac{2}{3} \sigma_1^{3/2} \right) \right] \quad \text{对 } \sigma_1 \geq 0. \end{aligned}$$

$$\begin{aligned} \frac{1}{q^*} = f &= (-\sigma_1)^{1/2} \left\{ 3^{-\frac{1}{3}} \Gamma(\frac{2}{3}) I_{-\frac{1}{3}} \left[ \frac{2}{3} (-\sigma_1^3)^{1/2} \right] - \right. \\ &\quad \left. - 3^{-\frac{2}{3}} \Gamma(\frac{1}{3}) S I_{\frac{1}{3}} \left[ \frac{2}{3} (-\sigma_1^3)^{1/2} \right] \right\} \quad \text{对 } \sigma_1 \leq 0 \end{aligned} \quad (1-3-19)$$

$$\text{式中 } S = (\gamma+1)^{-\frac{1}{3}}$$

回到方程 (1-3-16)，立刻得到密度比为

$$\frac{s^*}{s} = \frac{3^{-\frac{1}{3}} \Gamma(\frac{2}{3}) I_{\frac{2}{3}} \left( \frac{2}{3} \sigma_1^{3/2} \right) + 3^{-\frac{2}{3}} \Gamma(\frac{1}{3}) S I_{-\frac{2}{3}} \left( \frac{2}{3} \sigma_1^{3/2} \right) (\sigma_1)^{\frac{1}{2}}}{3^{-\frac{1}{3}} \Gamma(\frac{2}{3}) I_{-\frac{1}{3}} \left( \frac{2}{3} \sigma_1^{3/2} \right) + 3^{-\frac{2}{3}} \Gamma(\frac{1}{3}) S I_{\frac{1}{3}} \left( \frac{2}{3} \sigma_1^{3/2} \right)} \quad (1-3-20)$$

$$\frac{s^*}{s} = \frac{3^{-\frac{1}{3}} \Gamma(\frac{2}{3}) I_{\frac{2}{3}} \left[ \frac{2}{3} (-\sigma_1^3)^{1/2} \right] + 3^{-\frac{2}{3}} \Gamma(\frac{1}{3}) S I_{-\frac{2}{3}} \left[ \frac{2}{3} (-\sigma_1^3)^{1/2} \right]}{3^{-\frac{1}{3}} \Gamma(\frac{2}{3}) I_{-\frac{1}{3}} \left[ \frac{2}{3} (-\sigma_1^3)^{1/2} \right] - 3^{-\frac{2}{3}} \Gamma(\frac{1}{3}) S I_{\frac{1}{3}} \left[ \frac{2}{3} (-\sigma_1^3)^{1/2} \right]} \quad \begin{matrix} \text{对 } \sigma_1 \leq 0 \\ \text{对 } \sigma_1 \geq 0 \end{matrix}$$

对于服从近似式  $K_a(\sigma) = (\gamma+1)\sigma$  的这一类气体，亦即对于所谓的 Tricomi 气体， $s_{\beta^*}^* \sim q^*$ ,  $P/p^* \sim s_{\beta^*}^*$ ,  $M \sim \sigma$  的

关系见图 1-3-2，为比较，同一图上也画出了绝热指数  $\gamma=1.4$  的真实气体的对应性质。

(2) 对于 Tricomi 近似的推广

此时由方程 (1-3-12) 知

$$K_a(\sigma) = 2.40\sigma / (1 + 0.780\sigma)^5$$

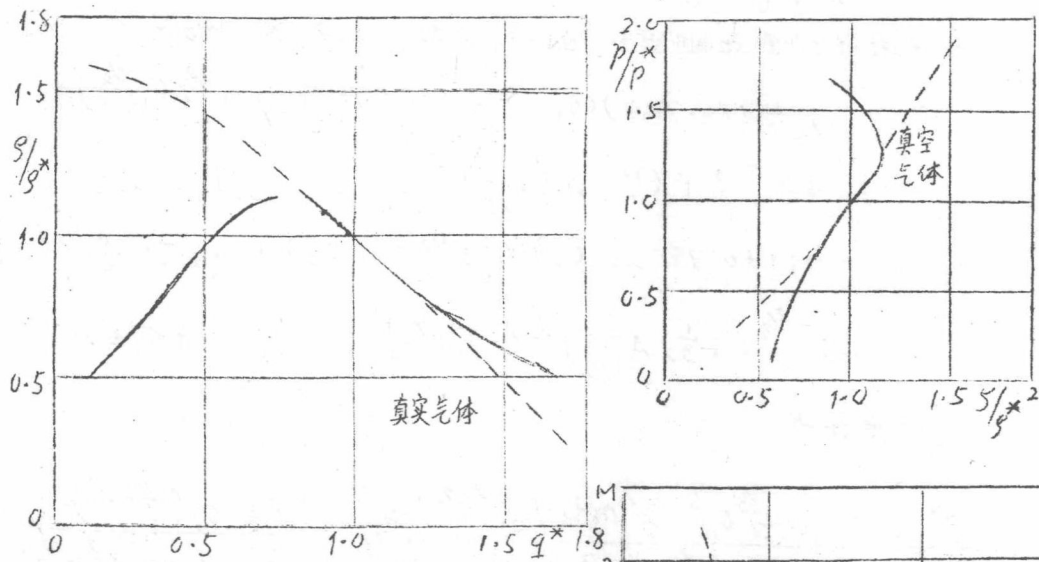
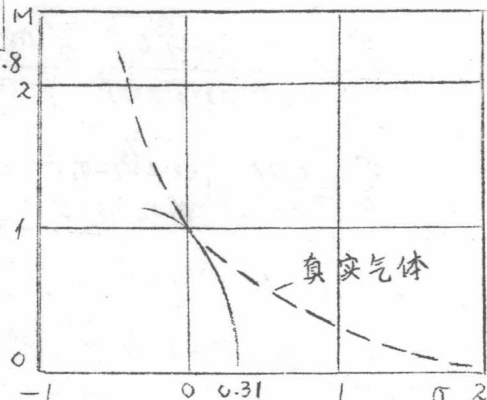


图 1-3-2

Tricomi 近似与真实气体  
对应性质的比较



需要求解的微分方程是

$$(0.78\sigma + 1)^5 \ddot{f}(\sigma) = 2.4\sigma f(\sigma).$$

作变量变换

$$f = (1 + 0.78\sigma) f_1(\sigma)$$

而

$$\sigma_1 = (2.4)^{1/3} \sigma - (1 + 0.78\sigma)^{-1}.$$

则微分方程变为

$$\ddot{f}_1 - \sigma_1 f_1 = 0.$$

作为参考点的声音条件是

$$f_1(0) = 1$$

.12.

$$42 \quad \left( \frac{df_1}{d\sigma_1} \right)_{\sigma_1=0} = A = 0.164318$$

由于微分方程和刚遇到的一样，故可立刻写此结果

$$f = (1+0.78\sigma)(\sigma_1)^{1/2} \left[ 3^{-1/3} \Gamma(2/3) I_{-1/3} \left( \frac{2}{3} \sigma_1^{3/2} \right) + 3^{-2/3} \Gamma(1/3) A I_{-1/3} \left( \frac{2}{3} \sigma_1^{3/2} \right) \right]. \quad (1-3-21)$$

$$f = (1+0.78\sigma)(-\sigma_1)^{1/2} \left[ 3^{-1/3} \Gamma(2/3) I_{-1/3} \left( \frac{2}{3} (-\sigma_1^3)^{1/2} \right) - 3^{-2/3} \Gamma(1/3) A I_{-1/3} \left( \frac{2}{3} (-\sigma_1^3)^{1/2} \right) \right] \quad \text{对 } \sigma_1 \leq 0.$$

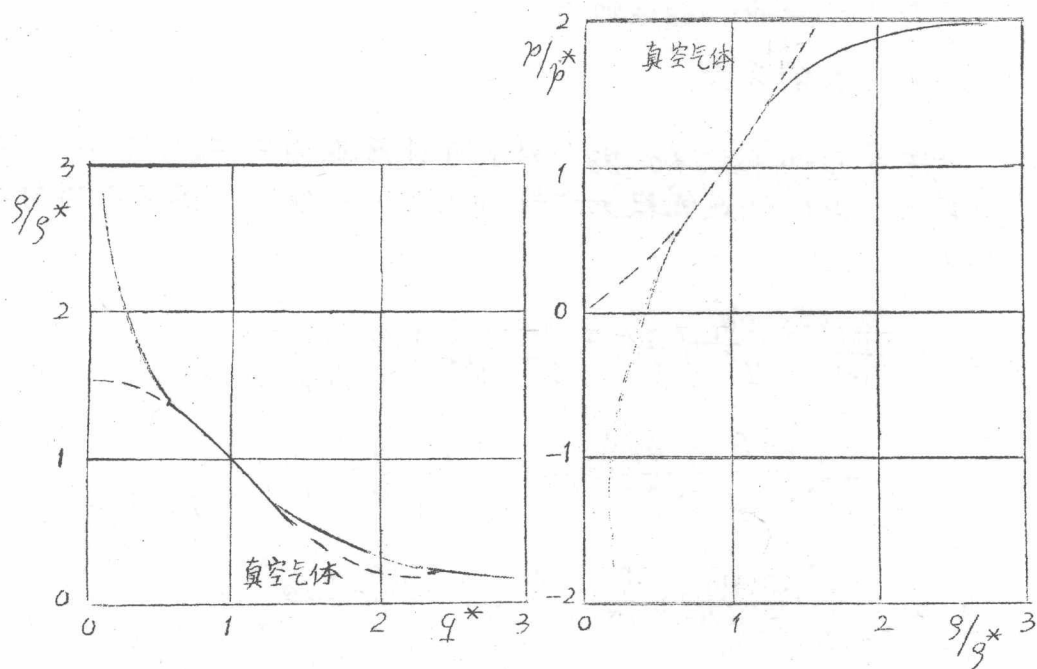
而密度比为

$$\frac{\rho^*}{\rho} = \frac{0.78 + (2.4) \sigma_1^{1/2}}{1+0.78\sigma (1+0.78\sigma)^2} \frac{3^{-1/3} \Gamma(2/3) I_{-1/3} \left( \frac{2}{3} \sigma_1^{3/2} \right) + 3^{-2/3} \Gamma(1/3) A I_{-1/3} \left( \frac{2}{3} \sigma_1^{3/2} \right)}{3^{-1/3} \Gamma(2/3) I_{-1/3} \left( \frac{2}{3} \sigma_1^{3/2} \right) + 3^{-2/3} \Gamma(1/3) A I_{-1/3} \left( \frac{2}{3} \sigma_1^{3/2} \right)} \quad \text{对于 } \sigma_1 \geq 0.$$

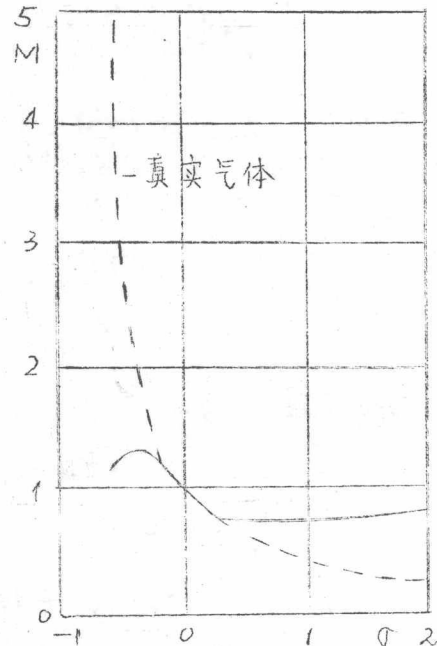
$$\frac{\rho^*}{\rho} = \frac{0.78 + (2.4) \sigma_1^{1/2}}{1+0.78\sigma (1+0.78\sigma)^2} \frac{3^{-1/3} \Gamma(2/3) I_{-1/3} \left( \frac{2}{3} (-\sigma_1^3)^{1/2} \right) + 3^{-2/3} \Gamma(1/3) A I_{-1/3} \left( \frac{2}{3} (-\sigma_1^3)^{1/2} \right)}{3^{-1/3} \Gamma(2/3) I_{-1/3} \left( \frac{2}{3} (-\sigma_1^3)^{1/2} \right) - 3^{-2/3} \Gamma(1/3) A I_{-1/3} \left( \frac{2}{3} (-\sigma_1^3)^{1/2} \right)} \quad \text{对于 } \sigma_1 \leq 0. \quad (1-3-22)$$

参 1-3-3 给出了对于推广了的 Tricomi 近似的  $\frac{\rho^*}{\rho} \sim q^*$ ,

$p/p^* \sim \rho/\rho^*$ ,  $M \sim \sigma$  的关系



§1-3-3 推广的  
Tricomi 近似与  
真实气体对应性质的  
比较



#### §1-4 物理平面上速度点之间的对应

设  $P(x, y)$  是物理平面上的任一点，而  $P'(r, \theta)$  表示它在

速度场内的映象，则我们有

### (一) 流线的变换

如果已知  $p_0(x_0, y_0)$ , 对应于速度场内点  $p'_0(\sigma'_0, \theta'_0)$ , 则沿通过  $p'_0$  和  $p'$  的流线积分方程 (1-2-7) 和 (1-2-8), 即可决定  $x$  和  $y$ :

$$\begin{aligned} x - x_0 &= \left[ \int_{\theta'_0}^{\theta} \frac{\cos \theta_1}{q_1^*} \left( \frac{\psi_0}{a^*} + \frac{\psi_\sigma}{a^*} \frac{d\sigma}{d\theta} \right) d\theta_1 \right] \psi = \psi(\sigma', \theta') \\ &= -\frac{1}{a^*} \left[ \int_{\theta'_0}^{\theta} \frac{\cos \theta_1}{q_1^*} \left( \psi_0 + K(\sigma_1) \frac{\psi_\sigma^2}{\psi_0} \right) d\theta_1 \right] \psi = \psi(\sigma', \theta') \end{aligned} \quad (1-4-1a)$$

$$\begin{aligned} y - y_0 &= \left[ \int_{\theta'_0}^{\theta} \frac{\sin \theta_1}{q_1^*} \left( \frac{\psi_0}{a^*} + \frac{\psi_\sigma}{a^*} - \frac{d\sigma}{d\theta} \right) d\theta_1 \right] \psi = \psi(\sigma', \theta') \\ &= -\frac{1}{a^*} \left[ \int_{\theta'_0}^{\theta} \frac{\sin \theta_1}{q_1^*} \left( \psi_0 + K(\sigma_1) \frac{\psi_\sigma^2}{\psi_0} \right) d\theta_1 \right] \psi = \psi(\sigma', \theta') \end{aligned} \quad (1-4-1b)$$

式中  $q_1^*$  是  $\sigma_1$  的函数，由方程 (1-2-15) 给出。

流线上任一点处的曲率  $\frac{1}{R}$  可以计算如下，参照 (1-2-7) 和 (1-2-8)

$$|R| = \left| \frac{(dx^2 + dy^2)^{1/2}}{d\theta} \right|_{\psi = \text{const}} = \frac{1}{q} \left| \frac{d\psi}{d\theta} \right|_{\psi = \text{const}}$$

利用方程 (1-2-15), (1-2-20) 和 (1-2-18), 可得

$$|R| = \frac{1}{q} \left| \frac{\psi_\sigma^2 + K \psi_0^2}{\psi_0} \right| = q^2 \left| \frac{J}{\psi_0} \right| \quad (1-4-1c)$$

### (二) 任一曲线的变换

设此曲线由参数式  $\sigma = \sigma(\theta)$  定义，它连接点  $p'_0$  和  $p'$ , 则在物理平面上的对应曲线是：

$$x - x_0 = \left\{ \frac{1}{a^*} \int_{\theta'_0}^{\theta} \frac{1}{q_1^*} \psi_0 \left( K \cos \theta_1 \frac{d\sigma}{d\theta} - \frac{q^*}{2} \sin \theta_1 \right) d\theta_1 \right\}_\lambda -$$

$$-\left\{ \frac{1}{a^*} \int_{\theta_1}^{\theta} \frac{1}{q_1^*} \psi_0 (\cos \theta_1 + \frac{s^*}{s} \sin \theta_1 \frac{d\sigma}{d\theta_1}) d\theta_1 \right\}_\lambda \quad (1-4-2a)$$

$$\begin{aligned} y - y_0 = & \left\{ \frac{1}{a^*} \int_{\theta_1}^{\theta} \frac{1}{q_1^*} \psi_0 (k \sin \theta_1 \frac{d\sigma}{d\theta_1} + \frac{s^*}{s} \cos \theta_1) d\theta_1 \right\}_\lambda - \\ & - \left\{ \frac{1}{a^*} \int_{\theta_1}^{\theta} \frac{1}{q_1^*} \psi_0 (\sin \theta_1 - \frac{s^*}{s} \cos \theta_1 \frac{d\sigma}{d\theta_1}) d\theta_1 \right\}_\lambda \quad (1-4-2b) \end{aligned}$$

特别地，如果曲线入是通过  $P_0$  点的连接等速度总的等速线，则上述积分变为

$$x - x_0 = - \left[ \frac{1}{a^*} \int_{\theta_1}^{\theta} \frac{1}{q_1^*} \left( \frac{s^*}{s} \sin \theta_1 \psi_0 + \psi_0 \cos \theta_1 \right) d\theta_1 \right]_{\sigma=\sigma_1} \quad (1-4-3a)$$

$$y - y_0 = \left[ \frac{1}{a^*} \int_{\theta_1}^{\theta} \frac{1}{q_1^*} \left( \frac{s^*}{s} \cos \theta_1 \psi_0 - \psi_0 \sin \theta_1 \right) d\theta_1 \right]_{\sigma=\sigma_1} \quad (1-4-3b)$$

如果将上述等速线进一步述为音速线，则有

$$x - x_0 = - \left[ \frac{1}{a^*} \int_{\theta_1}^{\theta} (\psi_0 \sin \theta_1 + \psi_0 \cos \theta_1) d\theta_1 \right]_{\sigma=0} \quad (1-4-4a)$$

$$y - y_0 = \left[ \frac{1}{a^*} \int_{\theta_1}^{\theta} (\psi_0 \cos \theta_1 - \psi_0 \sin \theta_1) d\theta_1 \right]_{\sigma=0} \quad (1-4-4b)$$

在超音速部分，按双曲型方程理论，附属于方程 (1-2-19) 的特征线  $\Gamma$  其斜率由二阶导数的系数确定为

$$\frac{d\sigma}{d\theta} = \begin{cases} [-1/\kappa(\sigma)]^{1/2} & \text{右族特征线 } \Gamma^+ \\ -[-1/\kappa(\sigma)]^{1/2} & \text{左族特征线 } \Gamma^- \end{cases} \quad (1-4-5)$$

用此方法确定的特征线对应于方程 (1-2-3) 的特征线，而后者是与流场的 Mach 线  $C$  相一致的。结果，Mach 线  $C$  由下式给出。

$$\begin{aligned} x - x_0 = & \left\{ \frac{1}{a^*} \int_{\theta_1}^{\theta} \frac{\psi_0}{q_1^*} \left[ \mp (-\kappa)^{1/2} \cos \theta_1 - \frac{s^*}{s} \sin \theta_1 \right] d\theta_1 \right\}_T - \\ & - \left\{ \frac{1}{a^*} \int_{\theta_1}^{\theta} \frac{\psi_0}{q_1^*} \left[ \cos \theta_1 \pm \frac{s^*}{s} (-\kappa)^{1/2} \sin \theta_1 \right] d\theta_1 \right\}_T \quad (1-4-6a) \end{aligned}$$

$$\begin{aligned} y - y_0 = & \left\{ \frac{1}{a^*} \int_{\theta_1}^{\theta} \frac{\psi_0}{q_1^*} \left[ \mp (-\kappa)^{1/2} \sin \theta_1 + \frac{s^*}{s} \cos \theta_1 \right] d\theta_1 \right\}_T - \\ & - \left\{ \frac{1}{a^*} \int_{\theta_1}^{\theta} \frac{\psi_0}{q_1^*} \left[ \sin \theta_1 \mp \frac{s^*}{s} (-\kappa)^{1/2} \cos \theta_1 \right] d\theta_1 \right\}_T \quad (1-4-6b) \end{aligned}$$